

УДК 537.226.4

**РЕВЕРСИВНЫЕ ЗАВИСИМОСТИ ПАРАМЕТРОВ ИНФРА-
И НИЗКОЧАСТОТНОЙ ДИСПЕРСИИ
ДИЭЛЕКТРИЧЕСКОЙ ПРОНИЦАЕМОСТИ
МАГНОНИОБАТА СВИНЦА**

E. Г. Надолинская, Н. Н. Крайник, А. В. Шильников, | Г. А. Смоленский

Исследованы реверсивные зависимости от постоянного смещающего электрического поля диэлектрической проницаемости ϵ' (E) и параметров низко- (НЧ) и инфракраснокачастотной (ИНЧ) дисперсии ϵ^* в монокристаллах магнониобата свинца (PMN) при температурах, соответствующих завершающему этапу размытого фазового перехода в сегнетоэлектрическое состояние. Полученные данные свидетельствуют, что при температурах выше ИНЧ максимума ϵ' (T) релаксационные механизмы поляризации могут быть связаны с тепловыми флуктуациями спонтанной поляризации $+P_s \pm -P_s$ сегнетокластеров в неполярной матрице и с осцилляциями как межфазовых границ, так и доменных стенок, возникающих внутри сегнетокластеров, растущих при понижении температуры и при приложении поля E_{\perp} . При температурах ниже максимума ϵ' (T) НЧ и ИНЧ дисперсия обусловлена динамикой доменных стенок различной ориентации.

Исследование медленных процессов диэлектрической релаксации в модельном сегнетоэлектрике с размытым фазовым переходом (РФП) — магнониобате свинца (PMN) — имеет существенный интерес, так как позволяет идентифицировать механизмы, ответственные за поляризацию на разных стадиях протекания РФП.

В [1] на основании анализа температурного поведения низко- (НЧ) и инфракраснокачастотных (ИНЧ) спектров начальной комплексной диэлектрической проницаемости ϵ_0^* была дана классификация механизмов поляризации на завершающих стадиях РФП. Известно [2], что существенную информацию о механизмах диэлектрической релаксации может дать изучение эволюции параметров спектров, характеризующих дисперсию ϵ_0^* , при наложении на сегнетоэлектрический кристалл постоянного смещающего поля (реверсивные зависимости параметров дисперсии ϵ_0^*); это также имеет важное значение для развития представлений о природе большого электрооптического эффекта, гигантской электрострикции и других полевых эффектов в кристаллах PMN, находящих технические применения, и, вероятно, позволит оптимизировать эти применения. Кроме того, в случае сегнетоэлектриков с РФП полевые зависимости параметров дисперсии ϵ_0^* могут дать существенную информацию об эволюции микродоменной структуры первоначально оптически изотропного кристалла и возникновении в нем макроскопических доменов.

В настоящей работе с целью уточнения природы явлений, ответственных за релаксационную диэлектрическую поляризацию кристаллов PMN на низких и инфракрасных частотах, были проведены исследования реверсивных зависимостей параметров НЧ и ИНЧ дисперсии ϵ_0^* .

Изучался характер эволюции параметров дисперсии ϵ_0^* , определяемых, как и в [1], с помощью диаграмм Коула—Коула [3] при воздействии на кристалл постоянных смещающих полей E_{\perp} . Были определены реверсивные зависимости наиболее вероятной частоты релаксации поляризации

(ν), параметра распределения частот релаксации (σ) и глубины дисперсии ($\Delta\epsilon = \epsilon_0 - \epsilon_\infty$) при некоторых фиксированных температурах.

Подготовка образцов и методики исследования (определение зависимости ϵ_0^* от частоты измерительного поля, обработка спектров ϵ_0^* , способы

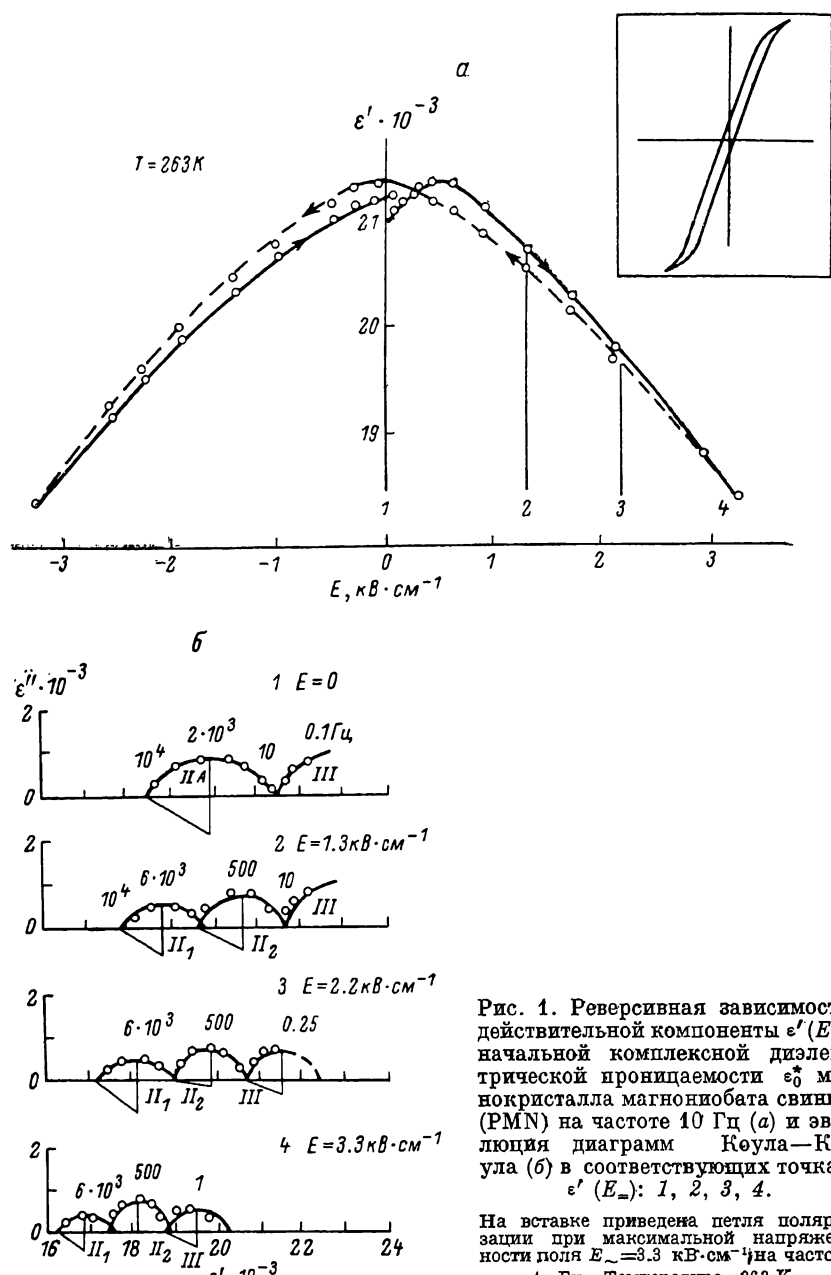


Рис. 1. Реверсивная зависимость действительной компоненты $\epsilon'(E)$ начальной комплексной диэлектрической проницаемости ϵ_0^* монокристалла магнониобата свинца (PMN) на частоте 10 Гц (а) и эволюция диаграмм Коула—Коула (б) в соответствующих точках $\epsilon'(E)$: 1, 2, 3, 4.

На вставке приведена петля поляризации при максимальной напряженности поля $E = 3.3$ кВ·см⁻¹ на частоте 1 Гц. Температура 263 К.

термостатирования и термометрирования и др.) не отличались от описанных в [1]. Постоянное смещающее поле (так же как и измерительное) подавалось на образец в кристаллографическом направлении [100] и изменялось по величине от 0 до $E_{\max} = \pm 3.3$ кВ·см⁻¹ ступенями через 10—50 в·см⁻¹ (с более мелким шагом вблизи значений, равных коэрцитивным полям).

Для примера на рис. 1 и 2 представлены графики реверсивных зависимостей действительной составляющей ϵ_0' комплексной диэлектрической

проницаемости ϵ_0^* (E_{∞}) при температурах $T \approx 263$ К и $T \approx 233$ К соответственно. Эти температуры являются характерными при прохождении РФП в кристаллах РМН, так как при них наблюдаются три из четырех предполагаемых в [1] механизма релаксационной дисперсии ϵ_0^* . В интер-

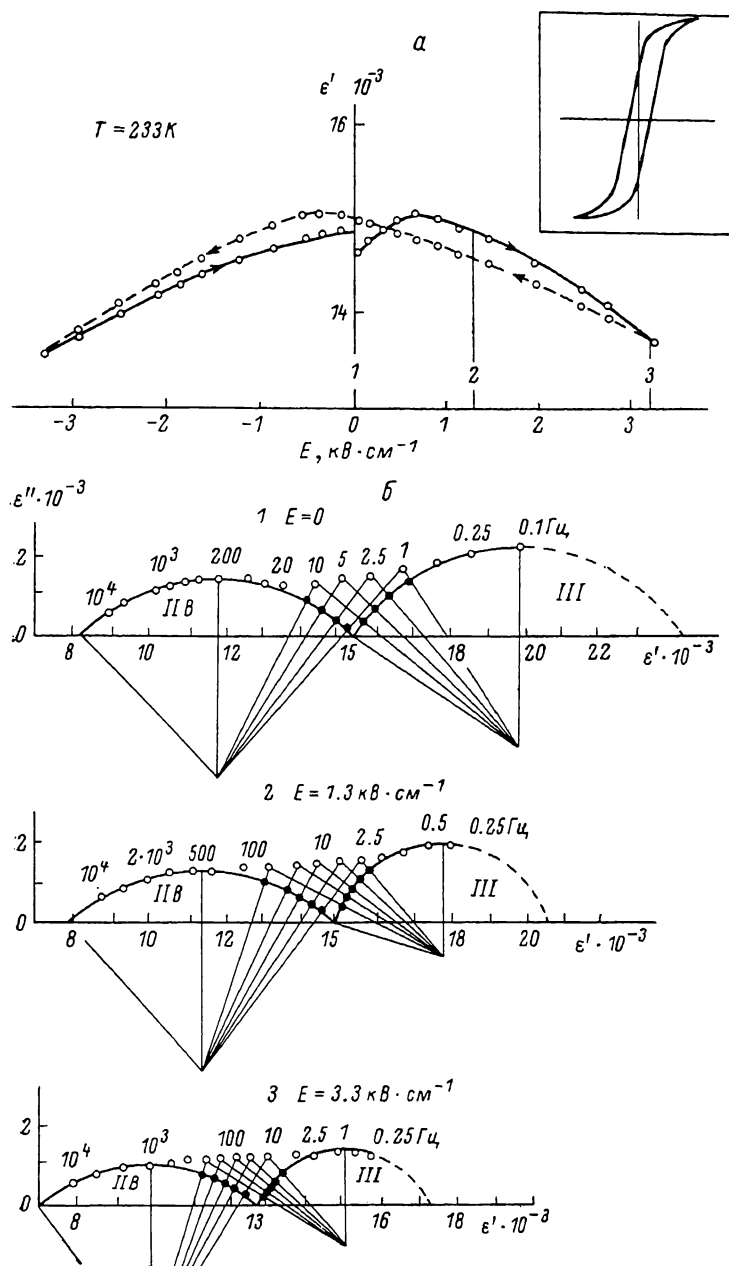


Рис. 2. То же, что на рис. 1 при 233 К.

вале температур от ~ 383 до ~ 290 К наблюдается область дисперсии *I*, связываемая с термически активируемыми осцилляциями поляризации слабовзаимодействующих полярных областей, возникающих в неполярной матрице. В интервале от ~ 262 до ~ 233 К — область *II A*, связываемая нами с осцилляциями межфазных границ и границ не 180° -доменов, на которые разбиваются возникающие бесконечные полярные кластеры. В интервале от ~ 233 до ~ 161.5 К — область *II B*, обусловленная, по-

видимому, осцилляциями не 180° , а в интервале от ~ 251.5 до ~ 225.6 К — область III, обусловленная осцилляциями 180° доменных стенок. На этих же рисунках приведена эволюция спектров ϵ_0^* , представленных в виде диаграмм Коула—Коула, в зависимости от величины смещающего поля E_0 . Эволюция соответствующих параметров ($\nu_p, \alpha, \Delta\epsilon$) дисперсий ϵ_0^* в зависимости от E_0 показаны на рис. 3.

На рис. 1, 1 при $E_0=0$, так же как в [1], на диаграмме Коула—Коула видна НЧ дисперсия ϵ_0^* с ν_p около 10^3 Гц. Эта дисперсия в [1] была отнесена к области IIА. На этом же рисунке, как и в [1], видна «высокочастотная»

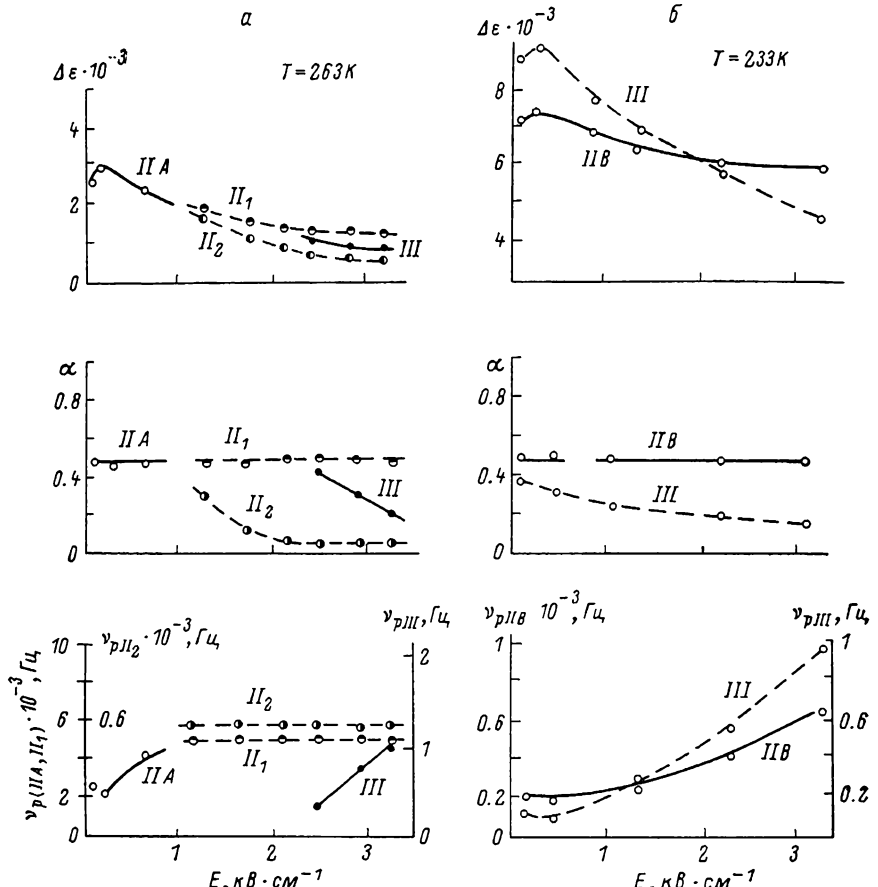


Рис. 3. Зависимости параметров НЧ и ИНЧ дисперсии ϵ_0^* в кристаллах PMN .

Глубина дисперсии $\Delta\epsilon_i = \epsilon_{si} - \epsilon_\infty i$, параметр распределения по частотам релаксации α_i , частота релаксации поляризации ν_{pi} от напряженности внешнего смещающего поля E_0 при температурах К: а — 263, б — 233.

часть другой дуги диаграммы Коула—Коула, отражающая ИНЧ дисперсию ϵ_0^* с $\nu_p < 0.1$ Гц. Эта дисперсия ϵ_0^* была в [1] классифицирована как область III.

При подаче на образец поля $E_0=1.3$ кВ·см⁻¹ (рис. 1, 2) дуга окружности, соответствующая области IIА, разбивается на две, одна из которых имеет среднюю частоту около $6 \cdot 10^3$ Гц (область II₁), а другая — около 500 Гц (область II₂). Более подробно всю полевую эволюцию параметров дисперсий ($\nu_p, \alpha, \Delta\epsilon$) областей IIА и III можно проследить на рис. 3, а. Из этого рисунка видно, что $\Delta\epsilon$ области IIА до разбиения на две (II₁ и II₂) с ростом E_0 сначала проходит через небольшой максимум, а затем монотонно уменьшается. Уменьшаются с дальнейшим ростом E_0 и $\Delta\epsilon$ областей II₁, II₂ и III. Если учесть, что $\Delta\epsilon$ пропорционально концентрации релаксаторов [1, 2], то становится ясно, что с ростом E_0 (за исключением

начального участка для области ПА) их число в образце для областей ПА^{*} II₁, II₂ и III монотонно уменьшается. Если считать [1], что дисперсия ϵ_0^* в области ПА связана с осцилляциями межфазных границ и не 180°-стенок доменов, то можно сделать вывод, что на первоначальном этапе переполяризации кристалла в поле E_{\perp} в нем несколько увеличивается число не 180°-доменов (и, естественно, доменных стенок), что согласуется с данными по доменной структуре ромбоздрической фазы сегнетоэлектриков со структурой перовскита при приложении поля вдоль [100] [4].

Этот вывод основывается на совместном анализе зависимостей $\Delta\epsilon(E_{\perp})$, $\alpha(E_{\perp})$ и $v_p(E_{\perp})$, представленных на рис. 3, а. Так как не 180°-домены в ромбоздрической фазе [4] образуют 70°- и 109°-доменные стенки [5], то благодаря внутренним напряжениям, обусловленным спонтанным сдвигом [6], последние будут образовывать сравнительно устойчивый спектр частот релаксации, характеризуемый параметром α (рис. 3, а). Новые доменные стенки, образовавшиеся на первоначальном этапе переполяризации, будут сравнительно «мягкими», так как не закреплены «ловушками» [7] и поэтому имеют сравнительно низкие собственные частоты релаксации, что приводит к общему уменьшению v_p (рис. 3, а). Заметим при этом, что при обработке экспериментальных результатов такой параметр дисперсии ϵ_0^* , как v_p , является более чувствительным к появлению новых релаксаторов, чем α , если последний ≥ 0.5 . Этим и объясняется практическое постоянство величины α для области ПА на участке, где имеет место некоторое изменение значений v_p (сначала спад, затем рост, рис. 3, а).

Рост v_p (рис. 3, а) с ростом E_{\perp} до 1.3 кВ·см⁻¹, до того как область ПА разбивается на две (II₁ и II₂), может быть связан как с ростом не 180°-доменов (с уменьшением общей площади доменных границ), так и с одновременным ростом (при слиянии) кластеров (с уменьшением общей площади межфазных границ), в результате чего в кристалле остаются все более и более «жесткие» доменные и фазовые границы, находящиеся в глубоких ловушках. При этом уменьшение концентрации доменных и фазовых границ (уменьшение числа релаксаторов), а также рост их «жесткости» отражается на значении глубины дисперсии $\Delta\epsilon$, которая, как отмечено выше, монотонно падает с ростом E_{\perp} (рис. 3, а). Дальнейший рост поля ($E_{\perp} \geq 1.3$ кВ·см⁻¹) приводит к разделению областей дисперсии ϵ_0^* , вызванных осцилляцией не 180°-доменных стенок (область II₁) и осцилляций межфазных границ (область II₂), а также к более четкому проявлению (за счет роста v_p) области III (рис. 1, 3, а). Заметим, что классификация областей II₁ и II₂ проводится на том основании, что при прочих равных условиях большей частоте релаксации поляризации v_p соответствует меньшая энергия активации U , которая характерна для не 180°-доменных границ [1], вследствие их значительной ширины [8], связанной с наличием спонтанного сдвига в кристаллической решетке [9]. В пользу приведенной классификации говорит и дальнейшая полевая эволюция параметров этих дисперсий. Если с ростом E_{\perp} характер поведения $\Delta\epsilon$ и v_p для обеих областей дисперсии одинаков (рис. 3, а), то для областей ПА-II₁ $\alpha \approx \text{const}$, а для области II₂ α сначала резко уменьшается практически до 0, после чего не меняется. Поведение $\alpha(E_{\perp})$ для не 180°-доменов рассмотрено и объяснено выше. Объяснение поведения $\alpha(E_{\perp})$ для межфазных границ находится в естественном предположении, что с ростом объема кластеров фазовые границы, отделяющие их от неполярных областей кристалла, становятся все менее различимы по своим физическим свойствам (спектр их v_p резко сужается). При этом понятно, что если $\alpha \approx \text{const}$, то и $v_p \approx \text{const}$ как для области II₁, так и для II₂ (рис. 3, а). Уменьшение $\Delta\epsilon$ с ростом E_{\perp} (при $v_p(E_{\perp}) \approx \text{const}$) объясняется уменьшением общей площади соответствующих границ в кристалле (ростом объемов доменов и кластеров).

Относительно полевых зависимостей параметров дисперсии ϵ_0^* области III следует сказать, что они являются характерными для случая 180°-х доменных стенок [3, 10, 11]. Действительно, под действием смещающего

поля уменьшается концентрация последних, растет «жесткость» оставшихся в кристалле доменных стенок, сужается спектр их частот релаксации. Это соответственно приводит к уменьшению $\Delta\epsilon$, росту ν_p и снижению α (рис. 3, а).

При температуре ~ 233 К, согласно [1], в основном заканчивается процесс заполнения объема кристалла РМН полярной фазой и соответственно практически исчезают межфазные границы. Поэтому следует ожидать, что ни при каком значении смещающего поля область ПВ не разделится на две, как это было с областью ПА при $T \approx 263$ К (рис. 1). На рис. 2 представлена эволюция спектров ϵ_0^* при различных смещающих полях. Как видно из рис. 2 и 3, б, эволюция параметров дисперсии ϵ_0^* и для области II (ПВ), и для области III характерна для случаев не 180° -и 180° -доменных стенок соответственно, обсуждавшихся выше.

Заметим, что приложение поля в исследованном температурном интервале усиливает доменный характер дисперсии ϵ_0^* . Это проявляется в уменьшении ν_p и росте $\Delta\epsilon$ на начальном участке увеличения E_z , что говорит о появлении новых доменов с «мягкими» доменными стенками. Дальнейший рост E_z , приводящий к уменьшению $\Delta\epsilon$ и увеличению ν_p , вызывает укрупнение доменов и бесконечных кластеров, границы которых дают вклад в ϵ_0^* .

Таким образом, анализ характера эволюции параметров НЧ и ИНЧ дисперсий ϵ_0^* при воздействии постоянных смещающих полей дает полное согласие с высказанный в [1] точкой зрения о механизмах НЧ и ИНЧ релаксационной диэлектрической поляризации.

В заключение авторы благодарят С. Н. Дороговцева за обсуждение результатов.

Л и т е р а т у р а

- [1] Надолинская Е. Г., Крайник Н. Н., Шильников А. В., Смоленский Г. А., Волоширова Л. Х. В кн.: Тезисы XI Всесоюзной конф. по физике сегнетоэлектриков. Киев: Институт физики АН УССР, 1986, с. 266.
- [2] Шильников А. В., Попов Э. С., Надолинская Е. Г., Щагина Н. М. Кристаллография, 1985, т. 30, № 4, с. 729—733.
- [3] Браун В. Диэлектрики. Пер. с англ. М.: ИЛ, 1961. 326 с.
- [4] Setter N. S., Cross L. E. Ferroelectrics, 1981, vol. 37, p. 551—554.
- [5] Желудев И. С. Физика кристаллических диэлектриков. М.: Наука, 1968. 463 с.
- [6] Шувалов Л. А. Кристаллография, 1963, т. 8, № 4, с. 617—624.
- [7] Барфут Дж. Введение в физику сегнетоэлектрических явлений. Пер. с англ. М.: Мир, 1970. 352 с.
- [8] Смоленский Г. А., Боков В. А., Исупов В. А., Крайник Н. Н., Пасынков Р. Е., Соколов А. И., Юшин Н. К. Физика сегнетоэлектрических явлений. Л.: Наука, 1985. 396 с.
- [9] Лайнс М., Гласс А. Сегнетоэлектрики и родственные им материалы. Пер. с англ. М.: Мир, 1981, 736 с.
- [10] Шильников А. В., Попов Э. С., Шувалов Л. А. и др. В кн.: Физика диэлектриков и полупроводников. Волгоград: ВПИ, 1978, с. 7—18.
- [11] Галиярова А. М., Горин С. В., Шильников А. В. В кн.: Физика диэлектриков и полупроводников (по материалам выездной сессии Научного совета АН СССР по физике сегнетоэлектриков и диэлектриков). Волгоград: ВПИ, 1986, с. 140—167.

Физико-технический институт
им. А. Ф. Иоффе АН СССР
Ленинград

Волгоградский инженерно-строительный институт
Волгоград

Поступило в Редакцию
15 июля 1987 г.